

## بررسی خصوصیات ضد رگ زایی نانوذرات اکسیدروی سنتز شده به روش سیز با استفاده از عصاره آبی ریشه گیاه انجبار (*Persicaria bistorta*)

الهام صفوی<sup>۱</sup>، مسعود همایونی تبریزی<sup>۱\*</sup>، احسان کریمی<sup>۱</sup>

(۱) گروه زیست شناسی، واحد مشهد، دانشگاه آزاد اسلامی، مشهد، ایران

تاریخ پذیرش: ۹۷/۰۱/۱۴

تاریخ دریافت: ۹۶/۰۸/۳۰

### چکیده

**مقدمه:** رگ زایی فرایندی پویا است که در شرایط فیزیولوژیک و پاتولوژیک نظیر رشد تومورهای سرطانی نقش مهمی دارد. امروزه استفاده از نانوذرات تولید شده به روش سیز به دلیل قدرت مهار رگ زایی نقش مهمی در مبارزه با سرطان بر عهده دارند. در روش سیز از عصاره گیاه به عنوان عامل کاهنده یون های فلزی و روشی مقررین به صرفه و سازگار با محیط زیست در سنتز نانوذرات استفاده می گردد. در این مطالعه از نانوذرات اکسیدروی سنتز شده با عصاره ریشه گیاه انجبار در مهار رگ زایی مورد سنجش قرار گرفت.

**مواد و روش ها:** برای بررسی اثرات ضد رگ زایی نانوذرات اکسیدروی سنتز شده به روش سیز، ۳۰ عدد تخم مرغ نژاد Ross در ۶ گروه شامل شاهد و شاهد آزمایشگاهی و ۴ گروه تجربی (تیمار شده با غلظت های ۲۰۰۰، ۵۰۰، ۲۵۰، ۱۰۰۰ میکروگرم بر میلی لیتر از نانوذرات اکسیدروی) که به طور کاملاً تصادفی تقسیم شده بودند مورد ارزیابی قرار گرفت. در روز ۲، اثرات نانوذرات بر تیمارها مورد آنالیز قرار گرفت. داده های حاصل توسط نرم افزار SPSS و آزمون آماری ANOVA بررسی گردید و  $P < 0.05$  معنی دار در نظر گرفته شد.

**یافته های پژوهش:** یافته های به دست آمده نشان می دهد که استفاده از غلظت های ۱۰۰۰ و ۲۰۰۰ میکروگرم در میلی لیتر از نانوذرات اکسیدروی می تواند سبب کاهش معنی دار در تعداد عروق و طول عروق پرده کوریوآلتونیک ( $P < 0.001$ )، کاهش میزان وزن و کاهش طول سری دمی ( $P < 0.05$ ) جنبه های جوچه در مقایسه با گروه شاهد شود.

**بحث و نتیجه گیری:** یافته ها نشان داد نانوذرات اکسیدروی سنتز شده با عصاره آبی ریشه گیاه انجبار دارای توانایی لازم در مهار رگ زایی است.

**واژه های کلیدی:** آنژیوژنز، ZnO، پرده کوریوآلتونیک

\* نویسنده مسئول: گروه زیست شناسی، واحد مشهد، دانشگاه آزاد اسلامی، مشهد، ایران

Email: mhomayouni6@gmail.com

Copyright © 2018 Journal of Ilam University of Medical Science. This is an open-access article distributed under the terms of the Creative Commons Attribution international 4.0 International License (<https://creativecommons.org/licenses/by-nc/4.0/>) which permits copy and redistribute the material, in any medium or format, provided the original work is properly cited.

از منابع گیاهی پایداری بیشتر نانوذرات تولیدی، قابلیت سنتز این نانوذرات در مقادیر بالا و قادر خطرات زیست محیطی است(۸). اکسیدروی دارای توانایی آنتی اکسیدانی بالایی بوده و به دلیل اندازه مناسب آن در روند ضد رگ زایی بسیار کاربردی عمل می نماید(۹). مطالعات مختلف نشان می دهد که این ترکیب می تواند به صورت انتخابی سلول های سرطانی را شناسایی و مهار نماید در حالی که برای سلول های طبیعی بی خطر است(۱۰). در این میان سنتز سبز نانوذرات ZnO با روش های مقرر به صرفه و با سازگاری زیست محیطی بالا(۱۱) با استفاده از مخمرها، باکتری ها، جلبک ها و گیاهان در زمینه های درمانی اهمیت ویژه ای پیدا کرده است(۱۲). انجبار یکی از گیاهانی است که از آن در درمان خونریزی های ناشی از زخم های عمیق و نیز در درمان اسهال استفاده می شود. بررسی بر روی گیاه انجبار نشان داده که این گیاه حاوی ترکیبات گلیکوزیدی، فنولی و فلاونوئید است که مسبب بروز خواص آنتی اکسیدانی و ضد التهابی قدرتمند این گیاه می باشد(۱۳). جهت بررسی اثرات ضد رگ زایی نانوذرات مختلف از مدل های(*in vivo*) از جمله پرده کوریوآلاتوتیک تخم مرغ استفاده می شود(۱۴). این روش ساده و مقرر به صرفه است(۱۵). با توجه به این که یکی از راهکارهای مبارزه با متاستاز تومور و تکثیر سلول های سرطانی مهار آنژیوژن است در این پژوهش بر آن شدیدم تا اثرات ضد رگ زایی نانوذره ZnO سنتز شده با عصاره آبی ریشه گیاه انجبار را بر روی پرده کوریوآلاتوتیک جوچه به عنوان مدل(*in vivo*) در مطالعات آنتی آنژیوژن مورد بررسی قرار دهیم.

### مواد و روش ها

به منظور انجام مطالعه حاضر ابتدا نانوذرات اکسیدروی به روش سبز از عصاره آبی ریشه گیاه انجبار تهیه شدند. در روش سبز استات روى(۵/۰ میلی مولار) با عصاره آبی تهیه شده از ریشه گیاه ترکیب شد، سپس بر روی حرارت همراه با همزن مغناطیسی قرار گرفت بعد از گذشت زمان رسوب سفید رنگ حاصل شده که

### مقدمه

آنژیوژن یا رگ زایی فرایندی است که در شرایط فیزیولوژیک و پاتولوژیک نقش مهمی دارد. این فرایند وابسته به هماهنگی بین عوامل تحريك کننده آنژیوژن و مهار کننده های طبیعی درون بدن است. آنژیوژن یک روند طبیعی تنظیم شده در بهبود زخم و رشد و نمو طبیعی است. با این حال، زمانی که از کنترل خارج می شود، بیماری هایی نظیر سرطان شکل می گیرد(۱). سلول های سرطانی تومور قادر به استفاده از عروق خونی جدید برای متاستاز به مناطق دیگر هستند به عبارتی توده سرطانی با عروق خونی فراوان می تواند فعالیت متاستازی بیشتری نسبت به تومور با عروق خونی کمتر داشته باشد(۲). اکنون ثابت شده که بدون آنژیوژن تومور قادر به گسترش بیش از ۱ تا ۲ میلی متر نیست(۳). در حال حاضر درمان های که منجر به مهار آنژیوژن در تومور می شود به هدف اصلی در مبارزه با سرطان تبدیل شده اند مهار آنژیوژن و به دنبال آن مهار متاستاز در تومور درمانی مناسب برای مبارزه با سرطان است(۴). درمان های ضد رگ زایی در توده سرطانی عبارت است از مهار تشکیل عروق خونی جدید و یا نابودی رگ هایی که از قبل تشکیل شده اند این روش های درمانی منجر به تولید ترکیباتی شده که رشد تومور را با تخریب رگ های تغذیه کننده تومور و یا رگ های قبلی مهار می کند(۵). روش های درمانی مختلفی جهت مهار آنژیوژن و فرایندهای مرتبط با آن وجود دارند. استفاده از نانوفناوری و تولید نانوذرات با هسته فلزی به دلیل خصوصیات آنتی اکسیدانی و قدرت آن ها در مهار رگ زایی سبب تحول روش های مبارزه با رگ زایی در مهار تومورهای سرطانی شده است(۶). استفاده از نانوذرات دارای مزایای فراوانی در مقایسه با داروهای مورد استفاده در شیمی درمانی و درمان های مکمل است. قابلیت بالای نانوذرات در مهار فاکتور رشد سلول های اندوتیال عروقی(VEGF) از مزیت های این نانوذرات در مقایله با رگ زایی و مهار رشد تومور می باشد(۷). سنتز نانوذرات فلزی اکسیدروی (ZnO) در اندازه ۱۰۰-۱۰۰ نانومتر با استفاده

گروه تجربی ۱(تیمار با نانوذرات ZnO سنتز شده توسط عصاره آبی ریشه گیاه انجبار با غلظت ۲۰۰۰ میکروگرم بر میلی لیتر)

گروه تجربی ۲(تیمار با نانوذرات ZnO سنتز شده توسط عصاره آبی ریشه گیاه انجبار با غلظت ۱۰۰۰ میکروگرم بر میلی لیتر)

گروه تجربی ۳(تیمار با نانوذرات ZnO سنتز شده توسط عصاره آبی ریشه گیاه انجبار با غلظت ۵۰۰ میکروگرم بر میلی لیتر)

و گروه تجربی ۴(تیمار با نانوذرات ZnO سنتز شده توسط عصاره آبی ریشه گیاه انجبار با غلظت ۲۵۰ میکروگرم بر میلی لیتر)

غلظت های مورد استفاده در این پژوهش بر اساس تست های اولیه گذاشته شده و نتایج به دست آمده انتخاب شدند. در روز هشتم بعد از باز شدن پنجره ها و اضافه شدن اسنج ژلاتینی نمونه ها توسط  $1\text{m}\text{l}$  از نانوذره مورد نظر تیمار شدند و نمونه شاهد آزمایشگاهی با  $1\text{m}\text{l}$  ۱۰ نرمال سالین تیمار شد و مجدداً پنجره ها توسط چسب و پارافین استریل بسته شدند و تخم مرغ ها به انکوباتور برگردانده شد. در روز دوازدهم انکوباسیون از تمامی نمونه ها، شاهد، شاهد آزمایشگاهی و گروه های تجربی ۴، ۳، ۲ و ۱ به کمک فتواستئومیکروسکوپ(KE-) S2015B از محدوده قرارگیری اسنج تصاویری گرفته شد و از آن جا که هر گونه اختلال در رگ زایی بر میزان خون رسانی به جنین و رشد و نمو آن تاثیرگذار است، اندازه گیری وزن جنین ها با ترازوی دیجیتالی و طول فوق سری-نشیمنگاهی(CR) نیز با کولیس دیجیتالی صورت گرفت و سپس طول و تعداد انسعبابات عروقی همه نمونه ها با توجه به ساختار وسیع پرده کوریوآلاتوئیک توسط  $4\text{ m}\text{m}^2$  مربع به ابعاد  $2/5\times 2/5\text{ m}\text{m}^2$  سانتی متر مربع بر روی تصویر مانیتور با نرم افزار J Image محاسبه شد. داده ها توسط نرم افزار آماری SPSS نسخه ۱۶ و آزمون آماری ANOVA تحلیل گردیدند. در این مطالعه نتایج با  $P<0.05$  معنی دار در نظر گرفته شد.

موید سنتز نانوذرات اکسیدروی بود که برای تایید و آنالیز سنتز مورد ارزیابی قرار گرفتند. در ادامه بررسی فعالیت های ضد رگ زایی نانوذرات اکسیدروی سنتز شده با عصاره آبی ریشه گیاه انجبار انجام شد. برای بررسی اثر ضد رگ زایی نانوذرات مورد نظر  $30\text{ g}$  عدد تخم مرغ نطفه دار نژاد ROSS که تقریباً از لحاظ اندازه و سن یکسان بودند از شرکت مرغداران طوس مشهد خریداری گردید. بعد از ضد عفونی توسط الكل ۷۰ درصد تخم مرغ ها به دستگاه جوجه کشی(درنا سیستم پارس) با دمای  $37/7^\circ\text{C}$  درجه سانتی گراد و رطوبت نسبی  $70\%$  درصد همراه با چرخش اتوماتیک قرار داده شدند. در روز دوم انکوباسیون در شرایط کاملاً استریل و زیر هود لامینار(JTLC2X) در شرایط ایزوله توسط پنس استریل نوک تیز در سمت پهن تخم مرغ منفذ کوچکی ایجاد شد و در قسمت پهلوی تخم مرغ ها پنجره ای به ابعاد  $1\times 1\text{ cm}^2$  سانتی متر مربع ایجاد گردید. سپس محل پنجره توسط چسب و پارافین استریل پوشانده شده و مجدد تخم مرغ ها به انکوباتور برگردانده شد. جهت رشد طبیعی جنین تخم مرغ ها با استفاده از چرخش دستی(Rolling Manual) روزی ۲ مرتبه انجام گرفت. در روز هشتم انکوباسیون پنجره ایجاد شده در تخم مرغ ها در شرایط کاملاً استریل باز شده و اسنج ژلاتینی محتوى آبومین سفیده تخم مرغ و محلول آگار حل شده در نرمال سالین به نسبت مساوی همراه با  $200\text{ }\mu\text{l}$  میکرولیتر آتی بیوتیک پنی سیلین-استرپتومایسین بر روی پرده کوریوآلاتوئیک همه تخم مرغ ها قرار گرفت. با توجه به شکل گیری پرده کوریوآلاتوئیک در روز پنجم انکوباسیون و اشغال نصف عرض داخلی تخم مرغ توسط پرده کوریوآلاتوئیک و شکل گیری کامل قلب و جدا شدن گردش خون سرخرگی و سیاهرگی در روز هشتم پس از انکوباسیون، تیمار شبکه عروقی در این روز انجام پذیرفت.

بدین منظور تخم مرغ ها در ۶ گروه ۵ تایی به ترتیب زیر به صورت تصادفی تقسیم شدند.

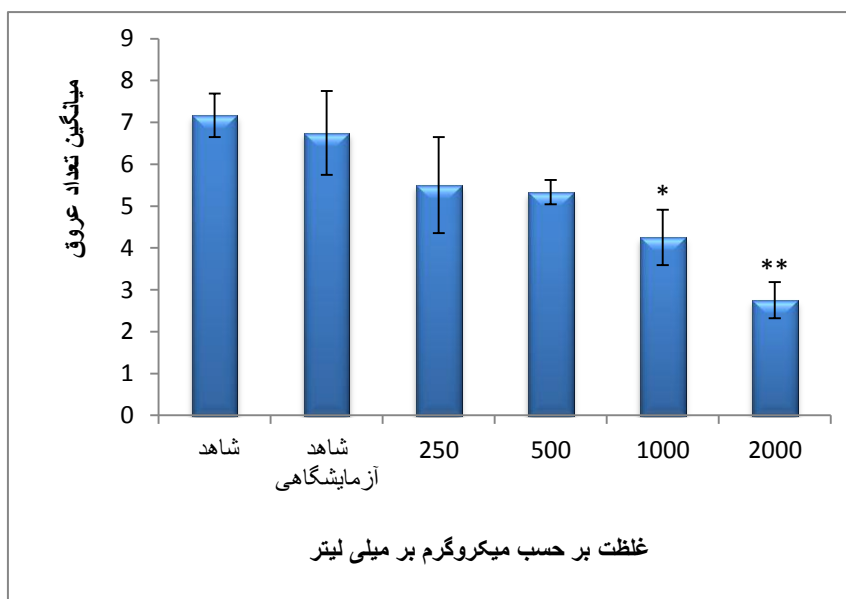
گروه شاهد(بدون تیمار و نگهداری در شرایط طبیعی)

گروه شاهد آزمایشگاهی(تیمار با نرمال سالین)

۲۵۰  $\mu\text{g}/\text{ml}$  (۶/۵۰۰ $\pm$ ۱/۱۴۵) و غلظت  $۲۵۰ \mu\text{g}/\text{ml}$  با گروه شاهد کاهش معنی داری را نشان نداد. مقایسه میانگین مجموع تعداد عروق پرده کوریوآلانتوئیک جنین جوجه در گروه شاهد (۰/۵۲۰ $\pm$ ۰/۱۶۶) با شاهد آزمایشگاهی (۰/۷۵۰ $\pm$ ۰/۶۷۵) اختلاف معنی داری نشان نداد. همچنان مقایسه میانگین مجموع تعداد عروق پرده کوریوآلانتوئیک جنین جوجه در غلظت معنی داری را نشان داد.

### یافته های پژوهش

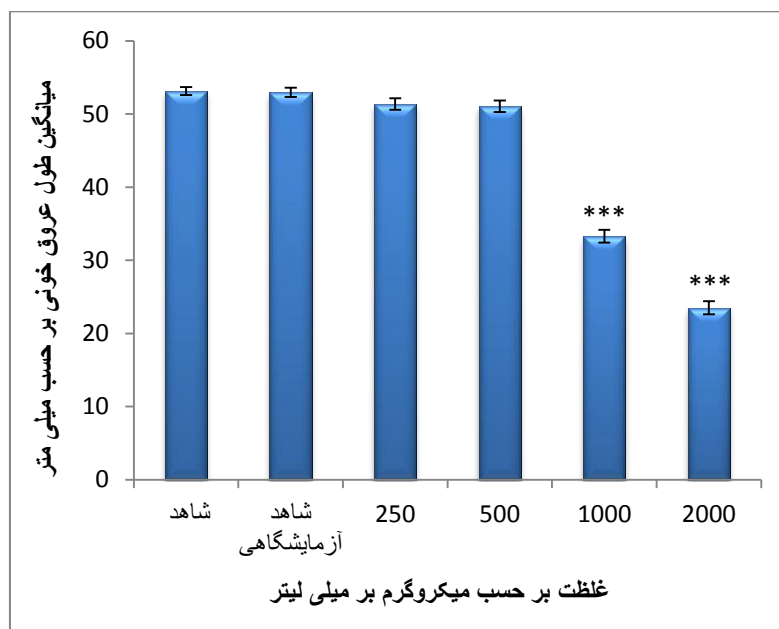
بررسی میانگین مجموع تعداد انشعابات عروق در پرده کوریوآلانتوئیک جنین جوجه: مقایسه میانگین مجموع تعداد عروق در پرده کوریوآلانتوئیک جنین جوجه در گروه شاهد (۰/۵۲۰ $\pm$ ۰/۱۶۶) با شاهد آزمایشگاهی (۰/۷۵۰ $\pm$ ۰/۶۷۵) اختلاف معنی داری نشان نداد. همچنان مقایسه میانگین مجموع تعداد عروق پرده کوریوآلانتوئیک جنین جوجه در غلظت



نمودار شماره ۱. مقایسه میانگین (mean  $\pm$  SD) مجموع تعداد انشعابات عروقی در سطح پرده کوریوآلانتوئیک جنین جوجه در گروه های تیمار با ZnO و شاهد (\*P<0.05, \*\*P<0.01)

۵۰۰  $\mu\text{g}/\text{ml}$  (۵۱/۳۴۳ $\pm$ ۰/۷۸۷ mm) و ۲۵۰  $\mu\text{g}/\text{ml}$  (۵۱/۰۶۷ $\pm$ ۰/۷۹۱ mm) با گروه شاهد اختلاف معنی داری نشان نداد. مقایسه میانگین طول انشعابات عروقی در غلظت ۱۰۰۰  $\mu\text{g}/\text{ml}$  (۳۳/۲۸۰ $\pm$ ۰/۸۷۹ mm) و ۲۰۰۰  $\mu\text{g}/\text{ml}$  (۲۲/۴۹۳ $\pm$ ۰/۸۹۴ mm) با گروه شاهد کاهش معنی داری را نشان داد (P<0.001).

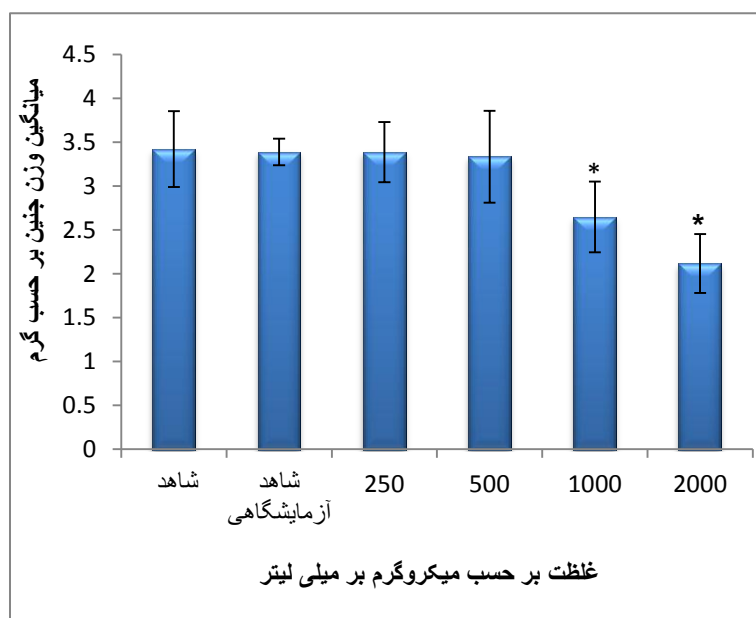
بررسی طول انشعابات عروقی در پرده کوریوآلانتوئیک جنین جوجه: مقایسه میانگین طول انشعابات عروقی پرده کوریوآلانتوئیک جنین جوجه در گروه شاهد (۵۳/۱۴۰ $\pm$ ۰/۵۴۱) با شاهد آزمایشگاهی (۵۲ $\pm$ ۰/۶۳۱) اختلاف معنی داری نشان نداد. همچنان مقایسه میانگین طول انشعابات عروقی در پرده کوریوآلانتوئیک جنین جوجه غلظت



نمودار شماره ۲. مقایسه میانگین (mean $\pm$ SD) مجموع طول انشعابات عروقی در سطح پرده کوربولا نتوئیک جنین جوجه در گروه های تیمار با ZnO و شاهد (\*\*P<0.001)

۱۰۰۰  $\mu\text{g}/\text{ml}$  (۵۰۰  $\mu\text{g}/\text{ml}$ ) و ۵۲۳  $\mu\text{g}/\text{ml}$  ( $3/334 \pm 0/523$  g) با گروه شاهد اختلاف معنی داری را نشان نداد. مقایسه میانگین وزن در غلظت ۲۰۰۰  $\mu\text{g}/\text{ml}$  (۲۰۰۰  $\mu\text{g}/\text{ml}$ ) ( $2/118 \pm 0/336$  g) با گروه شاهد کاهش معنی داری را نشان داد. ( $P<0.05$ ).

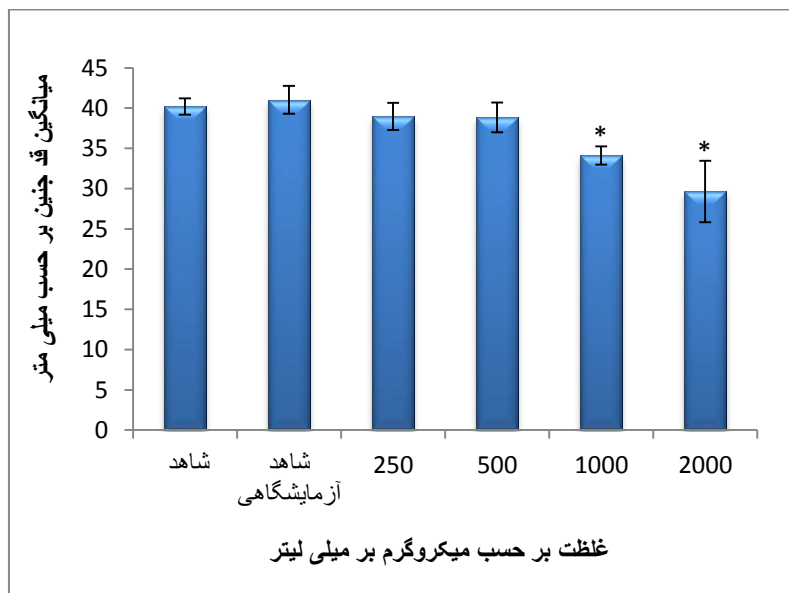
بررسی وزن جنین جوجه: مقایسه میانگین وزن جنین جوجه بر حسب گرم در گروه شاهد ( $3/422 \pm 0/432$  g) با شاهد آزمایشگاهی ( $3/390 \pm 0/150$  g) اختلاف معنی داری نشان نداد. همچنین مقایسه میانگین وزن نمونه های تیمار با ZnO در غلظت  $250 \mu\text{g}/\text{ml}$  ( $3/386 \pm 0/342$  g) با شاهد ( $3/334 \pm 0/523$  g) داد.



نمودار شماره ۳. مقایسه میانگین (mean $\pm$ SD) مجموع وزن جنین جوجه بر حسب گرم در گروه های تیمار با ZnO و شاهد (\*P<0.05)

بررسی طول سری-دمی CR جنین جوجه: مقایسه میانگین طول سری-دمی CR جنین جوجه در گروه شاهد ( $40/183 \pm 1/017$  mm) با شاهد آزمایشگاهی ( $41/027 \pm 1/723$  mm) اختلاف معنی داری نشان نداد. همچنان مقایسه میانگین طول سری-دمی CR جنین جوجه غلظت  $250 \mu\text{g}/\text{ml}$  و  $38/960 \pm 1/674$  mm) معنی داری را نشان داد ( $P<0.05$ ).

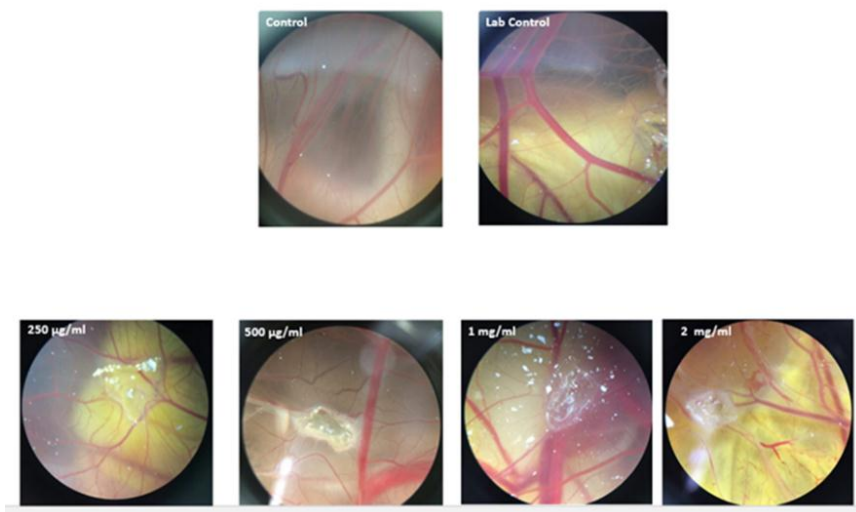
بررسی طول سری-دمی CR جنین جوجه: مقایسه میانگین طول سری-دمی CR جنین جوجه در گروه شاهد ( $40/183 \pm 1/017$  mm) با شاهد آزمایشگاهی ( $41/027 \pm 1/723$  mm) اختلاف معنی داری نشان نداد. همچنان مقایسه میانگین طول سری-دمی CR جنین جوجه غلظت  $250 \mu\text{g}/\text{ml}$  و  $38/960 \pm 1/674$  mm) معنی داری را نشان داد ( $P<0.05$ ).



نمودار شماره ۴. مقایسه میانگین (mean $\pm$ SD) طول سری-دمی CR جنین جوجه در گروه های تیمار با ZnO و شاهد (\* $P<0.05$ )

ریشه گیاه انجبار توانسته میزان رگ زایی را در پرده کوریو آلاتئیک جنین جوجه در مقایسه با نمونه های شاهد و شاهد آزمایشگاهی کاهش دهد.

بررسی مورفو-لوزی رگ های خونی در پرده کوریو آلاتئیک جنین جوجه: همان طور که از تصاویر گرفته شده زیر فتواستئومیکروسکوپ مشخص است افزایش غلظت نانوذرات ZnO سنتز شده با عصاره آبی



تصویر شماره ۱. اثرات غلظت های مختلف نانوذرات ZnO سنتز شده با عصاره آبی ریشه گیاه انجبار بر پرده کوریوآلتوئیک در مقایسه با گروه شاهد و شاهد آزمایشگاهی

## بحث و نتیجه گیری

دهد که استفاده از رقت های کمتر این ترکیب اثر معنی داری بر روی میزان رگ زایی و کاهش آن در پرده کوریوآلتوئیک ندارد اما با بالا رفتن میزان غلظت نانوذرات اکسیدروی میزان رگ زایی کاهش پیدا می نماید به نحوی که در غلظت های  $\mu\text{g}/\text{ml}$  ۱۰۰۰ و ۲۰۰۰ موجب کاهش معنادار در تعداد و طول انشعابات عروقی نسبت به گروه شاهد گردید. یکی از فرضیات مطرح شده در زمینه اثرات کاهنده رگ زایی توسط نانوذرات اکسیدروی تولید شده با استفاده از عصاره آبی ریشه گیاه انجبار بر روی پرده کوریوآلتوئیک تخم مرغ جنین دار می باشد. مطالعات اندوتیال پوشاننده سطح داخلی عروق باشد. مطالعات مختلف نشان می دهد جهت رگ زایی سلول های اندوتیال در گام ابتدایی می باشد تحت تاثیر فاکتورهای مختلف از جمله VEGF تکثیر شوند و در مراحل بعدی با از دست دادن هسته و ایجاد ساختار لوله مانند سبب گسترش رگ زایی شوند(۱۷). در صورتی که غلظت های بالای نانوذرات اکسیدروی بتواند سبب مهار و از بین رفتن سلول های اندوتیال تحریک شده جهت تولید و ساخت عروق جدید شود احتمالاً می تواند سبب مهار رگ زایی و تاثیرات مهاری بر رشد و پیشرفت تومورهای سرطانی

مطالعه حاضر نشان می دهد که نانوذرات اکسیدروی تهیه شده به روش سبز از عصاره آبی ریشه گیاه انجبار می توانند به طور معنی داری میزان رگ زایی بر پرده کوریوآلتوئیک تخم مرغ را تحت تاثیر قرار داده و این روند را کاهش دهند. با وجود بهره برداری فراگیر از نانوذرات ZnO و تولید روز افزون نانوذرات اکسیدروی و کاربردهای مفید آن در سیستم های بیولوژیک، تاکنون مطالعات اندکی در زمینه اثر ضد رگ زایی نانوذرات ZnO به عنوان هدفی در مهار سرطان انجام شده است، به همین جهت در این مقاله اثر نانوذرات اکسیدروی سنتز شده با عصاره آبی ریشه گیاه انجبار را بر مهار رگ زایی در مدل پرده کوریوآلتوئیک تخم مرغ های جنین دار مورد بررسی قرار گرفت. مطالعات مختلف نشان داده است که نانوذرات اکسیدروی می توانند به دلیل اندازه کوچکشان از دیواره عروق خونی عبور نمایند و وارد جریان خون شده و اثرات خود را بر روی بافت های مختلف القاء نمایند(۱۶). اثرات نانوذرات اکسیدروی سنتز شده به روش سبز بر میزان رگ زایی در پرده کوریوآلتوئیک تخم مرغ جنین دار نشان می دهد که این ترکیب بعد از انجام مطالعات بیشتر توانایی استفاده شدن به عنوان یک ترکیب مهارکننده رگ زایی پاتولوژیک را دارد. نتایج این مطالعه نشان می

همکاران مشخص گردید که نانوذرات اکسیدروی می توانند به طور معنی دار سبب کاهش بیان ژن های کدکننده پروتئین های VEGF، VEGFR و CXCR4 شود(۲۱). در مطالعه انجام شده بر روی اثرات نانوذرات اکسید منگنز بر رگ زایی در پرده کوریوآلانتوئیک تخم مرغ جنین دار نیز مشخص گردید که یکی از مهم ترین اثرات نانوذرات دارای هسته فلزی برهم زدن تعادل اکسیدان ها و آنتی اکسیدان های سلولی و نیز فعال شدن مسیرهای پیام رسانی مرتبط با آپوپتوz و در نهایت مهار رگ زایی از طریق غیرفعال نمودن سلول های اندوتیال مفروش کننده جدار داخلی عروق است(۲۴).

در پژوهش های بسیاری همسو با آزمایش حاضر، اثرات ضد رگ زایی نانوذرات مورد مطالعه قرار گرفته است به عنوان مثال بررسی ها بر روی نانوذرات طلا نشان داده است که این نانوذرات با مهار فاکتور رشد اندوتیال عروقی (VEGF) باعث کاهش تکثیر، مهاجرت و کاهش تشکیل رگ شده و هم چنین با بلوکه کردن مسیرهای سیگنالینگ توانسته اثر مهاری بر روی آثربوثرنر داشته باشد(۲۵). در تحقیقات دیگری در سال ۲۰۱۵ اثر نانوذرات نقره سنتز شده با عصاره گیاه روی پرده کوریوآلانتوئیک جنین جوجه مورد بررسی قرار گرفت و نشان داد که نانوذره نقره سنتز شده به روش سبز در گروه های تیمار شده قادر به کاهش تعداد و طول عروق خونی و به دنبال آن کاهش رگ زایی می باشد(۲۶). که هم راستا با نتایج به دست آمده از نانوذرات اکسیدروی سنتز شده به روش سبز بر رگ زایی در این مقاله می باشد. با توجه به مکانیسم های مورد اشاره می توان نشان داد که نانوذرات دارای هسته فلزی از جمله نانوذرات اکسیدروی احتمالاً می توانند از طریق تاثیر بر تعادل اکسیدان و آنتی اکسیدان های مختلف داخل سلولی و نیز تاثیر بر میزان بیان ژن های مرتبط با آپوپتوz سبب مهار رگ زایی شوند. به عبارت دیگر اگر چه بسیاری از مطالعات انجام شده برای بررسی اثرات نانوذرات اکسیدروی بر روی مدل های حیوانی و سلول های موجود در محیط های برون تنی صورت گرفته است اما محققان نشان داده اند

گردد. از دیدگاهی دیگر در صورتی که نانوذرات اکسیدروی بتوانند سبب ایجاد و القای آپوپتوz در سلول های اندوتیال عروق شوند نیز می توانند از رگ زایی ممانعت به عمل آورند. در مطالعه انجام شده در مورد بررسی اثرات نانوذرات اکسیدروی بر سلول های اندوتیال آنورت در انسان نشان داده شده است که این نانوذرات می توانند در غلظت های ۱۰ میکروگرم در میلی لیتر سبب مرگ ۲۰ درصد از سلول های اندوتیال پوشاننده سطح داخلی عروق خونی شوند(۱۸). نانوذرات اکسیدروی به دلیل اندازه و سطح اتصالی که دارند به غشاء سلول های اندوتیال چسبیده و وارد سلول می شوند لذا تماس سلول با میزان کمتر این نانوذرات نیز می تواند در القای آپوپتوz در این سلول ها موثر باشد. این نانوذرات می تواند با القای گونه های فعال اکسیژن (ROS) سبب تغییر در تعادل اکسیدان ها و آنتی اکسیدان های سلولی شوند و بدین ترتیب مسیرهای آپوپتوz را فعال نماید(۱۹). در مطالعات مختلف نشان داده است که نانوذرات دارای هسته فلزی می توانند با فعال نمودن کاسپازهای ۳ و ۹ سبب راه اندازی آبشارهای کاسپازی و در نهایت فعال شدن مسیرهای مرگ سلولی شوند(۲۰). هم چنین مطالعات دیگری نشان داد که نانوذرات اکسیدروی پس از ورود به سلول با فعال نمودن، تولید پروتئین های درگیر در فرایند التهاب از جمله سایتوکاین های التهابی و ایترلوکین ها از جمله اینترلوکین ۳ و ۶ و نیز پروتئین های VCAM و ICAM موجب تغییر در بیان ژن ها و در نهایت آپوپتوz سلول های اندوتیال و مرگ این سلول ها می شود(۱۸).

در بررسی های انجام شده توسط Oikawa و همکاران در سال ۲۰۱۵ نشان می دهد که نانوذرات اکسیدروی می توانند بر تشکیل عروق خونی اثرات مهارکننده داشته باشد(۲۱). در این مطالعه نشان داده شده است که نانوذرات اکسیدروی می توانند سبب تحریک روند آپوپتوz شده و سلول های اندوتیال را از بین ببرند. یکی از مهم ترین پروتئین های درگیر در روند رگ زایی VEGF و گیرنده آن (۲۲) و CXCR4 می باشند(۲۳). در مطالعه Oikawa و

تفاوت در نوع سنتر نانوذرات اکسیدروی می باشد که احتمالاً باعث تاثیر متفاوت نانوذرات اکسیدروی بر مکانیسم ها و مسیرهای پیام رسانی سلولی می شود. بررسی ها از دیدگاه بیوشیمیابی بر روی ریشه گیاه انجبار نشان داده که عصاره ریشه گیاه انجبار دارای ترکیبات ثانویه غیرسمی از جمله ترکیبات فنولی، تانن ها، مواد آبومینوئیدی، اگزالات کلسیم، اسید اگزالیک و ویتامین C است که باعث تاثیرات آنتی اکسیدانی و ضد سرطانی عصاره ریشه گیاه انجبار شده است، هم چنین به عنوان گیاهی درمانی در طب سنتی مطرح است که می تواند خواص درمانی متفاوتی از جمله مهار خونریزی ها و تاثیرات خدالتهابی در بدن داشته باشد(۳۰). با توجه به مطالب ارائه شده می توان احتمال داد که استفاده از عصاره ریشه گیاه انجبار در سنتر نانوذرات اکسیدروی به روش سبز می تواند سبب تقویت خصوصیات ضد رگ زایی شود. به طور کلی می توان نتیجه گرفت که غلظت های مشخصی از نانوذرات ZnO سنتر شده با عصاره آبی ریشه گیاه انجبار باعث کاهش تشکیل رگ های خونی در ناحیه تیمار شده روی پرده کوربیوآلتوتئیک چنین جوجه می شود و می توان از نانوذرات ZnO جهت تحقیقات بیشتر به منظور درمان بسیاری از بیماری های مرتبط با آنژیوژن از جمله سرطان ها استفاده کرد.

### سپاسگزاری

نویسنندگان این مقاله سپاسگزاری خود را از جناب آقای دکتر ابوالفضل نصرتی به دلیل کمک های فراوان در انجام این پژوهش ابراز می نمایند.

### References

- 1.Habibmartin ZA, Hammad HM, Afifi FU, Zihlif M, Alameer HJ, Saleh MM, et al. In vitro and in vivo evaluation of the antiangiogenic activities of Trigonella foenum graecum extracts. Asian Pac J Trop Biomed 2017; 7:732-8. Doi:10.1016/j.apjtb.2017.07.013.
2. Himadri R. Vascular endothelial growth factors role in perivascular therapeutic angiogenesis and diabetic macrovascular disease. Kuopio Uni Kuopio 2006;3:22-7.
- 3.Nishida N, Yano H, Nishida T, Kamura T, Kojiro M. Angiogenesis in cancer. Vasc Health Risk Manag 2006; 2:213.

که این نتایج قبل از انتشار به سلول های پستانداران و انسان نیز است(۲۷). در مطالعه جاری استفاده از غلظت های ۱۰۰۰ و ۲۰۰۰ میکروگرم در میلی لیتر از نانوذرات اکسیدروی تهیه شده با روش سبز و دوست دار محیط زیست از عصاره آبی ریشه گیاه انجبار نشان داد که می تواند سبب کاهش در اندازه چنین جوجه های مورد مطالعه گردد. یافته ها نشان می دهد که نانوذرات اکسیدروی با اثر بر رگ زایی و ممانعت از آن سبب کاهش دستررسی چنین به مواد غذایی شده و با محدود نمودن این منبع رشد وزن چنین ها دچار کاهش می شود. این کاهش اگر چه در سایر گروه ها نیز دیده شد اما در صورت افزایش تعداد نمونه ها، احتمال معنادار شدن اثرات نانوذرات اکسیدروی در غلظت های کمتر بر روی وزن چنین جوجه های افزایش پیدا می کرد. نتایج به دست آمده از اثرات نانوذرات اکسیدروی بر روی چنین جوجه های تخم مرغ های مورد آزمایش در راستای نتایج به دست آمده در مطالعه علیپور می باشد. در بررسی های علیپور و همکاران در سال ۱۳۹۴ با بررسی اثرات نانوذره اکسیدروی بر وزن چنین های موش سوری به این نتیجه رسیدند که با افزایش غلظت های مختلف نانوذره در مقایسه با گروه کنترل کاهش یافت و هم چنین با افزایش غلظت نانوذره اثرات سمی آن نیز افزایش یافت که هم راستا با نتایج این پژوهش است(۲۸). به طور کلی نانوذرات اکسیدروی می توانند روند رگ زایی را با تاثیر بر مسیرها و مولکول های مختلف تحت تاثیر قرار داده و این فرایند را مهار نمایند. اگر چه مطالعاتی هم وجود دارد که نشان می دهد نانوذرات اکسیدروی سبب افزایش رگ زایی می شود(۲۹) می بایست توجه نمود که یکی از مهم ترین تفاوت ها در این مورد

4. Quesada AR, Munozchapuli R, Medina MA. Anti angiogenic drugs: from bench to clinical trials. *Med Res Rev* 2006; 26:483-530. Doi:10.1002/med.20059.
5. Carmeliet P, Jain RK. Molecular mechanisms and clinical applications of angiogenesis. *Nature* 2011;473:298-307. Doi:10.3390/molecules200916540.
6. Boroumandmoghadam A, Namvar F, Moniri M, Mdtahir P, Azizi S, Mohamad R. Nanoparticles biosynthesized by fungi and yeast a review of their preparation, properties and medical applications. *Molecules* 2015;20:16540-65. Doi:10.3390/molecules200916540.
7. Banerjee D, Harfouche R, Sengupta S. Nanotechnology-mediated targeting of tumor angiogenesis. *Vascular cell* 2011;3:3. Doi: 10.1186/2045-824X-3-3.
8. Mittal AK, Chisti Y, Banerjee UC. Synthesis of metallic nanoparticles using plant extracts. *Biotechnol Adv* 2013;31:346-56. Doi: 10.1016/j.biotechadv.2013.01.003.
9. Augustine R, Dominic EA, Reju I, Kaimal B, Kalarikkal N, Thomas S. Investigation of angiogenesis and its mechanism using zinc oxide nanoparticle-loaded electrospun tissue engineering scaffolds. *RSC Adv* 2014;4:51528-36. Doi: 10.1039/c4ra07361d.
10. Zak AK, Aziz NSA, Hashim AM, Kordi F. XPS and UV-vis studies of Ga-doped zinc oxide nanoparticles synthesized by gelatin based sol-gel approach. *Ceram Int* 2016;42:13605-11. Doi: 10.1016/j.ceramint.2016.05.155
11. Moghaddam AB, Moniri M, Azizi S, Rahim RA, Ariff AB, Saad WZ, et al. Biosynthesis of ZnO nanoparticles by a new pichia Kudriavzevii yeast strain and evaluation of their antimicrobial and antioxidant activities. *Molecules* 2017;22:872. Doi:10.3390/molecules22060872.
12. Agarwal H, Kumar SV, Rajeshkumar S. A review on green synthesis of zinc oxide nanoparticles-An eco-friendly approach. *Res Efficient Technol* 2017;2:121-6. Doi: 10.1016/j.refit.2017.03.002.
13. Klimczak U, Wozniak M, Tomczyk M, Granica S. Chemical composition of edible aerial parts of meadow bistort Persicaria bistorta L. Samp. *Food Chem* 2017;230:281-90. doi: 10.1016/j.foodchem.2017.02.128.
14. Gorustovich AA, Roether JA, Boccaccini AR. Effect of bioactive glasses on angiogenesis: a review of in vitro and in vivo evidences. *Tissue Eng Part B Rev* 2009;16:199-207. Doi:10.1089/ten.teb.2009.0416.
15. Ribatti D. The chick embryo chorioallantoic membrane as an in vivo assay to study antiangiogenesis. *Pharmaceuticals* 2010; 3:482-513. Doi: 10.3390/ph3030482.
16. Choi HS, Ashitate Y, Lee JH, Kim SH, Matsui A, Insin N, et al. Rapid translocation of nanoparticles from the lung airspaces to the body. *Nat Biotechnol* 2010; 28:1300. Doi: 10.1038/nbt.1696.
17. Auerbach W, Auerbach R. Angiogenesis inhibition: a review. *Pharmacol Ther* 1994; 63:265-311. Doi: 10.1016/0163-7258(94)90027-2.
18. Gojova A, Guo B, Kota RS, Rutledge JC, Kennedy IM, Barakat AI. Induction of inflammation in vascular endothelial cells by metal oxide nanoparticles: effect of particle composition. *Environ Health perspect* 2007; 115:403. Doi:10.1289/ehp.8497 .
19. Wiseman DA, Wells SM, Wilham J, Hubbard M, Welker JE, Black SM. Endothelial response to stress from exogenous Zn<sup>2+</sup> resembles that of no mediated nitrosative stress, and is protected by MT-1 overexpression. *Am J Physiol Cell Physiol* 2006;291: 555-68. Doi:10.1152/ajpcell.00509.2005.
20. Brakenhielm E, Veitonmaki N, Cao R, Kihara S, Matsuzawa Y, Zhivotovsky B, et al. Adiponectin-induced antiangiogenesis and antitumor activity involve caspase-mediated endothelial cell apoptosis. *Proc*

- Natl Acad Sci USA 2004; 101:2476-81.  
Doi:10.1073/pnas.0308671100.
21. Tadaoikawa S, Ichihara G, Suzuki Y, Izuoka K, Wu W, Yamada Y, et al. Zn II released from zinc oxide nano micro particles suppresses vasculogenesis in human endothelial colony-forming cells. Toxicol Rep 2015; 2:692-701.  
Doi:10.1016/j.toxrep.2015.04.003.
22. Wei LH, Kuo ML, Chen CA, Chou CH, Lai KB, Lee CN, et al. Interleukin-6 promotes cervical tumor growth by VEGF-dependent angiogenesis via a STAT3 pathway. Oncogene 2003; 22:1517.  
Doi:10.1038/sj.onc.1206226.
23. Wang YB, Liu YF, Lu XT, Yan FF, Wang B, Bai WW, et al. Rehmannia glutinosa extract activates endothelial progenitor cells in a rat model of myocardial infarction through a SDF-1  $\alpha$ /CXCR4 cascade. PLoS One 2013; 8: 54303.  
Doi:10.1371/JOURNAL.PONE.0054303.
24. Majidifard M, Hassanpour E. [Anti-angiogenic effect of MnO<sub>2</sub> nanoparticles on chicken chorioalantoic membrane]. Daneshvar Med 2014; 121:21-9. (Persian)
25. Kalishwaralal K, Sheikpranbabu S, BarathManiKanth S, Haribalaganesh R, RamkumarPandian S, Gurunathan S. Gold nanoparticles inhibit vascular endothelial growth factor-induced angiogenesis and vascular permeability via Src dependent pathway in retinal endothelial cells. Angiogenesis 2011;14:29-45.  
Doi:10.1007/s10456-011-9225-1.
26. Khandia R, Munjal A, Bangrey R, Mehra R, Dhama K, Sharma N. Evaluation of silver nanoparticle mediated reduction of neovascularisation angiogenesis in Chicken model. Adv Anim Vet Sci 2015; 3:372-6.  
Doi:10.14737/journal.aavs/2015/3.7.372.376.
27. Tahergorabi Z, Khazaei M. [A review on angiogenesis and its assays]. Iran J Basic Med Sci 2012; 15:1110. (Persian)
28. Seyedalipour B, Oshrieh M, Khanbabae R. [Histopathological evaluation of the embryo and weight assessment of body kidney and liver in pregnant NMRI Mice exposed to Zinc oxide nanoparticles]. J Fasa Uni Med Sci 2015; 5:51-61. (Persian)
29. Zhu X, Wang J, Zhang X, Chang Y, Chen Y. The impact of ZnO nanoparticle aggregates on the embryonic development of Zebrafish Danio rerio. Nanotechnology 2009; 20:195103. Doi:10.1088/0957-4484/20/19/195103.
30. Jahan D, Begum W, Roqaiya M. Review on Beekhe Anjbar root of Polygonum bistorta L. with unani perspective and modern pharmacology. World J Pharm Sci 2015; 4:314-23.



## Investigation of Antiangiogenic Properties of Green ZnO Nanoparticles Synthesized By Root Extract of *Persicaria bistorta*

Safavi E<sup>1</sup>, HomayouniTabrizi M \*<sup>1</sup>, Karimi E<sup>1</sup>

(Received: November 21, 2017)

Accepted: April 3, 2018)

### Abstract

**Introduction:** Angiogenesis is a dynamic procedure that plays a key role in physiological and pathological conditions such as tumor growth. Today, the green synthesized nanoparticles are applied for cancer treatment due to their anti-angiogenic properties. In the green method, the plant extract is used for metal ions exchange into a nanoparticle as an economic and environmental-friendly procedure. In the present study, the anti-angiogenic effects of green ZnO nanoparticles synthesized by *Persicaria bistorta* root extract were evaluated.

**Materials & Methods :** As to investigate the anti-angiogenic effects of green synthesized ZnO nanoparticles, 30 Ross eggs were randomly divided into 6 groups including the control ,laboratory control, and 4 experimental groups treated by 250, 500, 1000, and 2000 µg/ml ZnO nanoparticles. On the day 12 after incubation, the effects

of ZnO were assessed. The obtained data was analyzed using the SPSS software and ANOVA statistical test. The P<0.05 was regarded as a significance.

**Findings:** The obtained data showed that the 1000 and 2000 µg/ml of green synthesized ZnO nanoparticles significantly decreased the number and length of chorioallantoic membrane vascular splits (P<0.001), weight and size and the head to tail length of the chicken's embryos in comparison to the normal controls (P<0.05).

**Discussion & Conclusion:** Our results demonstrated that the green ZnO nanoparticles synthesized by aqueous *Persicaria bistorta* root extract restricted the angiogenesis.

**Keywords:** Angiogenesis, ZnO, Chorioallantoic membrane

1. Dept of Biology, Mashhad Branch, Islamic Azad University, Mashhad, Iran  
Corresponding author: Email address: mhomayouni6@gmail.com